

# ДЕКОДИРОВАНИЕ МАТРОИДНЫХ КОДОВ

Бодян Г. К., Бодян Д. Г., Дунай Л. Ф.  
 Технический университет Молдовы ТУМ  
 Шт. чел Маре, 168, Кишинев – MD2012, Р. Молдова  
 Тел.: +(37322) 237505; e-mail: gbodean@mail.md

**Аннотация** – Описана технология декодирования матроидного (М-кода), исследована сложность задачи и процедуры декодирования, представлены схемные решения процесса декодирования М-кодов.

## I. Введение

Блок-схема кодера матроидного (М-)кода представлена в работе [1]. Там же, в общих чертах, описан алгоритм декодирования М-кода. Таким образом, решение задачи декодирования М-кода только декларировано, но не рассмотрено детально.

Напомним суть проблемы. Длина  $n$  принятого слова  $v$  равна:  $n=2t+k$ , где  $k$  – число исходных  $m$ -разрядных символов,  $t$  – число ошибочных символов. Например, если  $k=8$  и  $t=8$ , то  $n=24$ . В общем случае, декодер должен найти корректное решение среди  $C_n^k$ , т.е.  $C_{24}^8 = 735471$ , систем (из  $k=8$ ) линейных уравнений. На первый взгляд задача представляется сложно разрешимой. (Появляется “соблазн” отдать предпочтение кодам Рида-Соломона).

В данной работе будет представлена общая схема декодирования матроидного кода, а также, детально рассмотрены вопросы и задачи восстановления исходных данных на основе полученных.

## II. Основная часть

Матроидные коды относятся к классу линейных кодов. Кодирование и декодирование слов кода выполняется (или должно выполняться) асинхронно (за один такт). Общая схема “матроидного” кодирования и декодирования представлена на рисунке 1.

На вход кодера подается исходный вектор  $a(x)$ , содержащий  $k$  символов разрядности  $m$ . Кодер выполняет линейное преобразование вида:

$$v(x) = a(x) \cdot U_{k \times n}, \quad (1)$$

где  $U$  – матрица  $k \times n$  однородного матроида.

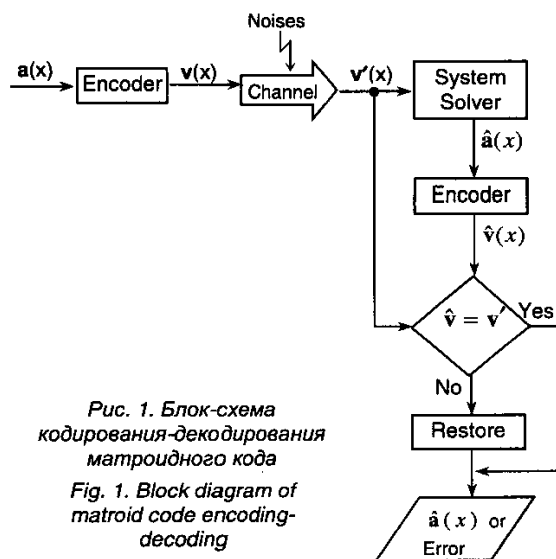


Рис. 1. Блок-схема кодирования-декодирования матроидного кода

Fig. 1. Block diagram of matroid code encoding-decoding

Преобразование (1) легко выполнимо и подробно описано в [1]. На выходе кодера формируется асинхронно вектор  $v(x)$ , который посылается по коммуникационному каналу (линии связи) получателю. Принятый вектор  $v'(x)$ , возможно содержащий ошибки, поступает на вход “решателя” System Solver. Этот решатель представляет собой комбинационную схему, которая содержит блоки умножения (мультипликаторы) и суммирования по модулю  $p(x)$ , где  $p(x)$  – порождающий полином расширенного поля Галуа

$$GF^k(2^m): p(x) = 1 + \sum_{i=1}^m p_i x^i, p_i \in \{0,1\}. \text{ Для } k \text{ выбранных}$$

символов принятого вектора  $v'(x)$  решается соответствующая система линейных уравнений. В результате получается решение  $\hat{a}(x)$  – вычисленные значения компонент исходного вектора  $a(x)$ .

Полученный таким образом вектор  $\hat{a}(x)$  “пропускается” через кодер, на выходе которого формируется вычисленное значение вектора  $\hat{v}(x)$ . Вычисленный и принятый вектора соответственно  $\hat{v}(x)$  и  $v(x)$  сравниваются (также асинхронная операция!), на основании чего принимается решение: является ли вычисленный вектор  $\hat{a}(x)$  корректным, или полученная информация ошибочна и следует выполнить полную процедуру восстановления исходных данных?

Процедура полного восстановления – блок Restore на диаграмме рис.1, предусматривает решение  $N = C_n^k$  систем линейных уравнений. Среди  $N$  решений могут быть корректные и ошибочные. Блок Restore должен выбрать корректное решение, т.е. вычисленный вектор  $\hat{a}(x)$ , и выдать его на выход декодера. С ростом  $n$  величина  $N$ , с точки зрения аппаратных затрат, становится неприемлемо большой. Например, для  $k=8$  и  $t=8$ , имеем  $N = C_{24}^8 = 735471$  решений систем линейных уравнений.

Решение системы линейных уравнений представляет собой значения  $k$ -значного вектора  $\hat{a}(x) = \langle a_1, \dots, a_k \rangle$ , где  $a_i = f(v')$ ,  $i=1, \dots, k$ . Аппаратная реализация (одного) линейного преобразования  $a_{(i)} = f(v')$  представляет собой  $k$ -входовое комбинационное устройство, выполняющее  $k$  умножений по модулю  $p(x)$  и суммирование по модулю  $p(x)$  результатов произведений. Тогда сложность одного преобразователя составит величину:

$$c(k) = k(\text{мультипликаторов}) + 1(\text{сумматор}), \quad (2)$$

а сложность устройства вычисления компонент  $k$ -разрядного вектора  $\hat{a}(x)$  составит величину:

$$C(k) = k \cdot c(k) = k^2 (\text{мультипликаторов}) + k(\text{сумматор}).$$

Для анализируемого примера, имеем  $C(8) = 64 + 8$ , а сложность всех решателей систем линейных уравнений декодера составит величину:

$$N \cdot C(k) \text{ или } 735471 \cdot 73 = 52953912. \quad (3)$$

Это весьма внушительное значение даже для современного уровня развития СВЧ техники. В то же время, сложность процедуры восстановления во многом зависит от способа решения систем линейных уравнений.

Кроме указанной проблемы сложности реализации решателей декодера, следует выделить, также, задачу выбора корректных решений. Принятый вектор  $v'(x)$  может содержать ошибку кратности  $e$ , где  $e \in \{1, \dots, f\}$ . В этом случае, из всего множества решений  $N$ , корректными окажутся только

$$N(e) = C_{n-e}^k \quad (4)$$

систем линейных уравнений. Для  $k=8$ ,  $n=24$  и  $e=8$  имеем  $N(8) = C_{16}^8 = 12870$ , которую умножаем на количество сумматоров-мультипликаторов:

$$N(8) \cdot C(8) = 12870 \cdot 72 = 926640. \quad (5)$$

В этом случае величина (5) на несколько порядков меньше величины (3).

Дальнейшее уменьшение сложности решателя декодера можно обеспечить за счет усечения решения системы линейных уравнений, а именно, вычисления значения только для одной компоненты  $a_{(s)}$  расчетного вектора  $\hat{a}(x)$ . Тогда структура решателя редуцируется до схемы одного линейного преобразователя, сложность которого равна  $c(k)$ , и аппаратные затраты на решатель составят величину:

$$O(k) = N(k) \cdot c(k) \text{ или } O(8) = 12870 \cdot (8+1) = 115830. \quad (6)$$

Далее, устройство выбора корректного решения сравнивает вычисленные значения всех  $O(k)$  компонент  $a_{(s)}$  и принимает решение: продолжить анализ или считать полученное значение  $a_{(s)}$  истинным.

Важно отметить, что существует оптимальная процедура поиска корректного решения, которая исключает дальнейший анализ для произвольного  $e$ . Она основана на следующем **утверждении**: для выбора корректного решения *необходимо и достаточно* определить  $C_{n-e}^k$  идентичных (истинных) решений среди всевозможных  $C_n^k$  решений.

В докладе приводится процедура (последовательно-)параллельного поиска истинных решений среди  $C_{n-e}^k$  возможных. Такая процедура может быть реализована асинхронно. Разработана демонстрационная программа, которая визуализирует процесс матричного кодирования и декодирования зашумленных графических изображений.

### III. Заключение

Таким образом, найдена оптимальная стратегия декодирования матричного кода, позволяющая реализовать декодер M-кода минимальными аппаратными затратами.

### IV. Список литературы

- [1] Бодян Г. К., Бодян Д. Г., Чернелев Д. П. Кодирование и декодирование матричного кода, исправляющего пакеты ошибок. Материалы Международной Крымской конференции «СВЧ-техника и телекоммуникационные технологии», Севастополь, сентябрь 8-12, 2003 г.

## MATROID CODES DECODING

Bodyan Gh. C., Bodyan D. Gh., Dunai L. T.  
*Technical University of Moldova*  
 TUM, 168, St. cel Mare, Kishinau – MD2012, R. Moldova  
 phone: (37322) 237505  
 e-mail: gbodean@mail.md

**Abstract** –Algorithm of matroid (M-) code decoding is described. The complexity of decoding procedure is analyzed. An optimal decoding algorithm is proposed.

### I. Introduction

In [1] was described the matroid code encoding. In this work the M-code decoding is analyzed. Length  $n$  of matroid codeword  $v(x)$  is equal to  $n=2t+k$ , where  $t$  is the number of erroneous symbols,  $k$  – number of original symbols. For example, if  $k=8$  and  $t=8$  then  $n=24$ . To find the original codeword  $a(x)$  is

need to solve up to  $\binom{k}{n} = C_n^k$  systems of  $k$  linear equations (for

above example,  $C_{24}^8 = 735471$ ). In this work the main diagram of matroid code decoding is described and theoretically analyzed. Important results for practice are obtained.

### II. Main part

M-codes are linear codes. Matroid code encoding and decoding diagram are shown in Figure 1. Encoder performs matrix multiplication (1), where  $U$  is the uniform matroid matrix. The System Solver gets the transmitted vector  $v'(x)$ , that can contain errors. System-Solver solves a system of linear equations for  $k$  selected components of  $v'(x)$ . A solution  $\hat{a}(x)$  comes on out as a result. This solution is encoded and vector  $\hat{v}(x)$  is compared with received vector  $v'(x)$ . If  $\hat{v}(x) = v'(x)$  then  $\hat{a}(x)$  is accepted as original sequence  $a(x)$ . Otherwise the Restore-block tries to find the correct solution. For this is need to solve  $N = C_n^k$  systems of linear equations. Among  $N$  solutions can be erroneous and correct solutions. As  $n$  grows  $N$  becomes unacceptable for engineers. In fact, the complexity of the one block of linear transformation that performs calculus of the one components  $a_{(s)}$  of vector  $a(x)$  is equal (2) and the complexity of the hole solver is equal to  $C(k) = k^2(\text{multipliers}) + k(\text{adders})$ . The complexity of all decoder's solvers is given by (3).

From the other hand, if received vector  $v'(x)$  has an  $e$ -uple error, then Restore-block must select only  $N(e)$  correct solutions (4). In this case, complexity of the value  $N(e) \cdot C(e)$  is still big; see, for example, (5). Further decreasing of the solver complexity can be provided by cutting obtained solution, namely, by analyzing only solution for one component  $a_{(s)}$  of  $\hat{a}(x)$ . The complexity of solver, in this case, is given by (6).

Generally, next **affirmation** can be made: is needed and sufficient to find  $C_{n-e}^k$  identical solutions to restore original data.

The described M-code decoding procedure was implemented in a demo-software that allows visualization of the encoding and decoding noises pictures.

### III. Conclusion

In conclusion, an efficient algorithm of matroid code decoding was proposed. This algorithm allows implementing of the M-code decoder with minimal hardware overhead.